

AMPLIFICADORES DE FIBRA ÓPTICA EN TELECOMUNICACIONES

Erwin A. Martí-Panameño

Facultad de Ciencias Físico-Matemáticas
Benemérita Universidad Autónoma de Puebla
México

San José, Costa Rica, 9 y 10 de Mayo, 2012



- 1 Introducción: Optoelectrónica → Fotónica
- 2 Solitones Ópticos Temporales
- 3 Amplificación de solitones
 - Amplificación en fibras ópticas con perfiles periódicos de alta ganancia
 - Amplificación de solitones fs en componentes con línea inhomogénea
- 4 Láseres Multicavidad
 - Acoplado en un punto de láseres de fibra
 - Generación sincrónica en tres cavidades
 - Generación sincrónica en tres cavidades
 - Generación sincrónica en tres cavidades
 - Generación sincrónica en tres cavidades



Comunicaciones Ópticas

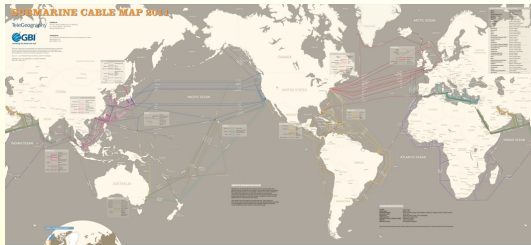


Figura: Estado al año 2011 del cableado óptico alrededor del mundo (
<http://www.submarinecablemap.com/>)



Comunicaciones Ópticas

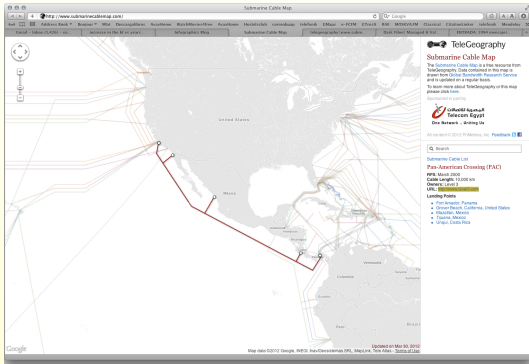


Figura: Cómo nos comunicamos hacia y desde Costa Rica? (
<http://www.submarinecablemap.com/>)

Comunicaciones Ópticas

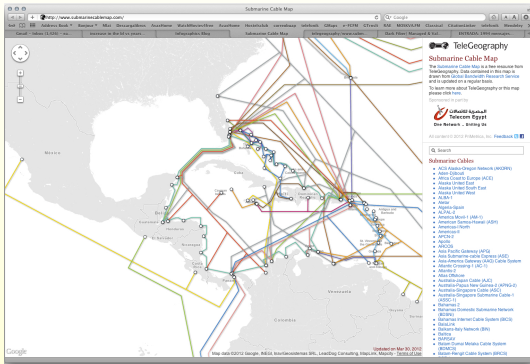


Figura: La alta tecnología también sirve para excluir a regiones. (<http://www.submarinecablemap.com/>)



- A las comunicaciones electrónicas les es inherentes una frecuencia portadora $\sim 1GHz$.



- A las comunicaciones electrónicas les es inherentes una frecuencia portadora $\sim 1GHz$.
- Las comunicaciones ópticas se caracterizan por que su frecuencia portadora es de cientos de Terahertz.



- A las comunicaciones electrónicas les es inherentes una frecuencia portadora $\sim 1GHz$.
- Las comunicaciones ópticas se caracterizan por que su frecuencia portadora es de cientos de Terahertz.
- Durante la década de 1980 se instaló el cableado de fibra óptica para instrumentar las comunicaciones ópticas.
- Década de 1990– **La era de la información:** Microelectrónica + comunicaciones ópticas.
- Los Amplificadores ópticos son una pieza clave en el incremento de la capacidad de comunicaciones ópticas



Una manera de evaluar el desarrollo de las comunicaciones ópticas es a través del producto de la cantidad de bits trasmítidos por la distancia.

$$[BL] = \text{bits} \times \text{kilómetros}$$

Este producto se incrementó varios órdenes de magnitud en las últimos dos décadas: intrínsecamente ligado al cambio en la forma de regenerar las señales.



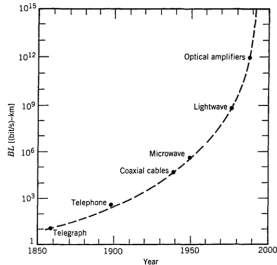


Figure 1.2: Increase in bit rate-distance product BL during the period 1850–2000. The emergence of a new technology is marked by a solid circle.

Figura: Incremento histórico del producto BL . A partir de los años 90 del siglo pasado las comunicaciones ópticas se apoyan en los amplificadores ópticos basados en fibras ópticas (G.P. Agrawal, "Fiber-optic communication systems" JW&S, 4th ed. 2010)



Este cambio se basó en la transición de los amplificadores electrónicos a los ópticos:



Este cambio se basó en la transición de los amplificadores electrónicos a los ópticos:
Conversión óptica — corriente eléctrica — amplificación electrónica— conversión a luz.



Este cambio se basó en la transición de los amplificadores electrónicos a los ópticos:
Conversión óptica — corriente eléctrica — amplificación electrónica— conversión a luz.
Lo que tenemos es:



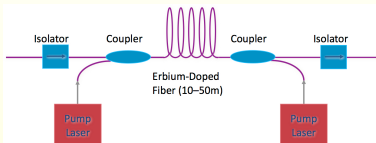


Figura: Este esquema de amplificación ha permitido razones de bits > 100Gb/s.



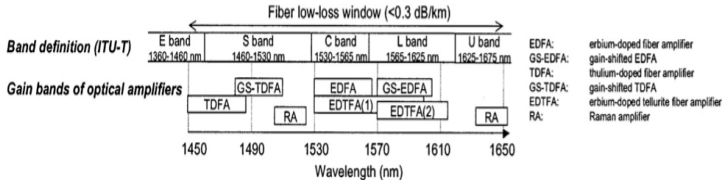


Figura: Se considera regiones de pérdidas para las fibras $< 0,3\text{db}$



Uno de los métodos de codificación de señales ópticas más perspectivo y ya en marcha es el basado en solitones ópticos temporales.



Una propiedad general de los paquetes de onda electromagnéticos (espaciales y temporales) es que tienden a "expandirse" durante la propagación.



Una propiedad general de los paquetes de onda electromagnéticos (espaciales y temporales) es que tienden a "expandirse" durante la propagación. La explicación es sencilla: cada una de las diferentes componentes espectrales del paquete de onda viaja a su propia velocidad.

Dispersión: ensanchamiento temporal del pulso.

Difracción: ensanchamiento transversal del haz.



Propagación dispersiva de pulsos luminosos

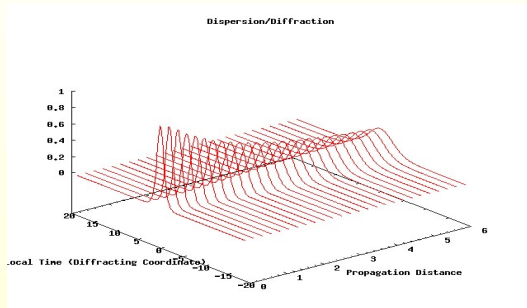


Figura: Sin pérdidas la propagación dispersiva, produce que el pulso se ensanche. Espectralmente se reduce su ancho.



Solitones Ópticos Temporales

Sin embargo, pulsos luminosos intensos producen la automodulación de fase y el pulso tiende a comprimirse temporalmente debido al enriquecimiento espectral.



Propagación no lineal de pulsos luminosos

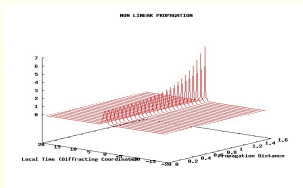


Figura:

Balance de los efectos no lineales y dispersivos

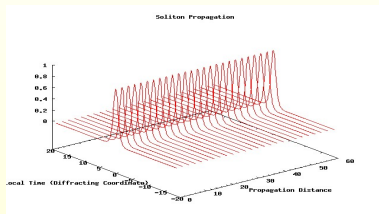


Figura: Solitón

Comportamiento similar a una partícula.

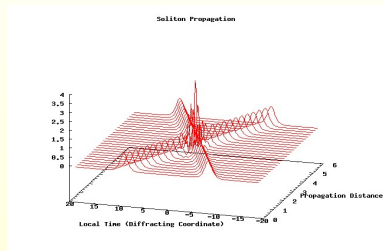


Figura: Colisión de solitones

El modelo matemático para el estudio de la propagación y amplificación no lineal quedo definido ayer:

$$\frac{\partial \Psi}{\partial z} = \frac{1}{2} \frac{\partial^2 \Psi}{\partial \tau^2} + (1 - \beta) |\Psi|^2 \Psi + \beta Q \Psi + \frac{G}{2} P$$

$$\mu^2 \frac{\partial^2 Q}{\partial t^2} + 2\mu\delta \frac{\partial Q}{\partial t} + Q = |\Psi|^2.$$

$$\frac{T_2^i}{\tau_0} \frac{\partial P}{\partial t} + P(1 + iT_2^i \Delta\omega) = i\Psi.$$



Como paquetes de onda los solitones son elementos que pueden ser amplificados en diferentes tipos de condiciones.

Veamos dos casos:

- Amplificación en fibras ópticas con perfiles periódicos de alta ganancia.

Como paquetes de onda los solitones son elementos que pueden ser amplificados en diferentes tipos de condiciones.

Veamos dos casos:

- Amplificación en fibras ópticas con perfiles periódicos de alta ganancia.
- Amplificación de solitones fs en componentes con línea inhomogénea.

Amplificación en fibras ópticas con perfiles periódicos de alta ganancia

Investigación

Revista Mexicana de Física 41, No. 1 (1995) 72-84

Soliton solutions in optical fiber devices possessing periodical high gain profiles

V.A. VYSLOUKH*, M. TORRES-CISNEROS, J.J. SÁNCHEZ-MONDRAÓN,

E. MARTÍ-PANAMEÑO AND G.E. TORRES-CISNEROS[†]

Instituto Nacional de Astrofísica, Óptica y Electrónica

Apartado postal 51; 72000 Puebla, Puebla, México

Recibido el 4 de mayo de 1994; aceptado el 21 de octubre de 1994

ABSTRACT. We study the behavior of optical pulses propagating in optical fibers possessing periodical gain profiles which do not satisfy the adiabatic amplification conditions. We demonstrate that it is possible to obtain first and higher order soliton solutions, and we predict their final asymptotic amplitudes and widths as well as some of their transient characteristics. These predictions agree with results of numerical simulations and allow to describe the global behavior of optical fiber devices that use periodical gain profiles, such as high gain doped fiber amplifiers.

Figura: Altos perfiles de Amplificación



Amplificación en fibras ópticas con perfiles periódicos de alta ganancia

74

V.A. VYSLOUKH ET AL.

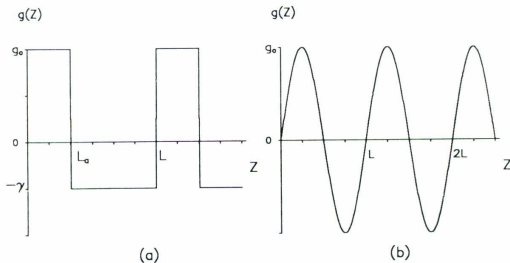


FIGURE 1. Periodical gain profiles considered through the paper. In (a) a step-like profile with constant amplification and absorption regions and in (b) a sinusoidal gain profile.

Figura: Altos perfiles de Amplificación



Amplificación en fibras ópticas con perfiles periódicos de alta ganancia

80 V.A. VYSLOUKH ET AL.

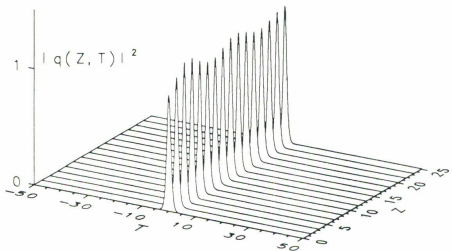


FIGURE 5. Temporal behavior of an initial first order soliton as it propagates through a fiber possessing the periodical gain profile of Fig. 1b with $g_0 = 1$ and $L = Z_0/2$. The total propagation distance is $32L$, and each curve is taken at the distance interval of $2L$.

Figura: Altos perfiles de Amplificación



Amplificación en fibras ópticas con perfiles periódicos de alta ganancia

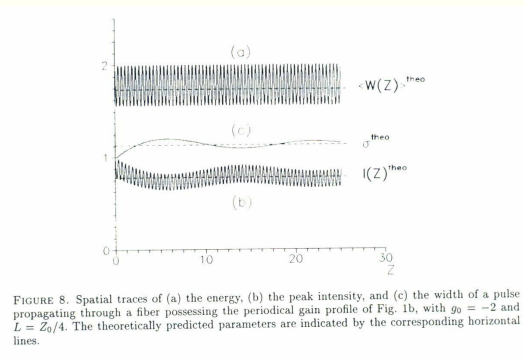


Figura: Altos perfiles de Amplificación

Amplificación de solitones fs en componentes con línea inhomogénea

OPTICAL FIBER TECHNOLOGY 2, 143-148 (1996)
ARTICLE NO. 0016

Femtosecond Soliton Amplification in an Er-Doped Fiber Amplifier with Inhomogeneously Broadened Line

E. MARTÍ-PANAMEÑO*

Facultad de Ciencias Físico-Matemáticas, Benemérita Universidad Autónoma de Puebla, Apdo. Postal 1704, 72001 Puebla, Mexico

V. A. VYSLOUKH, M. TORRES-CISNEROS, AND J. J. SÁNCHEZ-MONDRAGÓN

Instituto Nacional de Astrofísica, Óptica y Electrónica, Tonantzintla, Mexico

AND

G. E. TORRES-CISNEROS

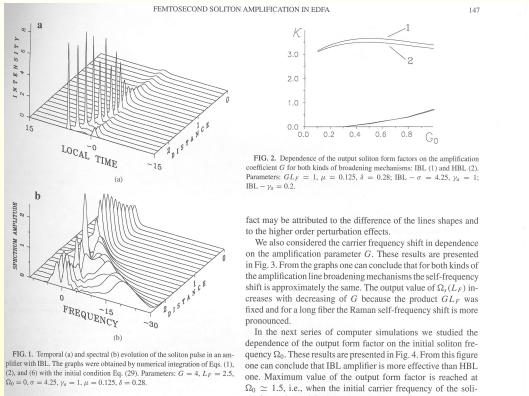
Facultad de Ingeniería Mecánica, Eléctrica y Electrónica, Universidad de Guanajuato, Mexico

Received September 5, 1995; revised January 5, 1996

Figura: Amplificación de solitones fs



Amplificación de solitones fs en componentes con línea inhomogénea



fact may be attributed to the difference of the lines shapes and to the higher order perturbation effects.

We also considered the carrier frequency shift in dependence on the amplification parameter G . These results are presented in Fig. 3. From the graphs one can conclude that for both kinds of the amplification line broadening mechanisms the self-frequency shift is approximately the same. The output value of $\Omega_o(L_F)$ increases with decreasing of G because the product GL_F was fixed and for a long fiber the Raman self-frequency shift is more pronounced.

In the next series of computer simulations we studied the dependence of the output form factor on the initial soliton frequency Ω_0 . These results are presented in Fig. 4. From this figure one can conclude that IBL amplifier is more effective than HBL one. Maximum value of the output form factor is reached at $\Omega_0 \approx 1.5$, i.e., when the initial carrier frequency of the soli-

Figura: Amplificación de solitones fs

Amplificación de solitones fs en componentes con línea inhomogénea

148

MARTÍ-PANAMEÑO ET AL.

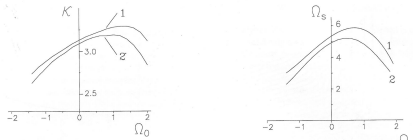


FIG. 4. Output soliton form factors as functions of the initial frequency detuning Ω_0 for both kinds of broadening mechanisms: IBL (1) and HBL (2). Parameters: $G = 0.1$, $L_F = 10$, $\mu = 0.125$, $\delta = 0.28$; IBL- $\sigma = 4.25$, $\gamma_a = 1$; IBL- $\gamma_a = 0.2$.

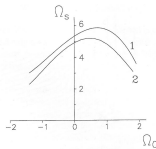


FIG. 5. Output soliton self-frequency shifts $8\Omega_s$ as functions of the initial frequency detuning Ω_0 for both kinds of broadening mechanisms: IBL (1) and HBL (2). Parameters: $G = 0.1$, $L_F = 10$, $\mu = 0.125$, $\delta = 0.28$; IBL- $\sigma = 4.25$, $\gamma_a = 1$; IBL- $\gamma_a = 0.2$.

Figura: Amplificación de solitones fs

El trabajo en el área de amplificadores ópticos, es un trabajo con un muy reducido margen para Universidades sin contacto con la industria. Por esto suspendimos el trabajo en amplificadores y nos concentraremos en láseres de diseño y propiedades particulares. Estos son los láseres multicavidad.



Estos sistemas láser son:

- Acoplado en un punto de láseres de fibra.



Estos sistemas láser son:

- Acoplado en un punto de láseres de fibra.
- Generación sincrónica en tres cavidades. (Experimento)

Detengámonos brevemente en estos resultados.



Acoplado en un punto de láseres de fibra



ELSEVIER

8 May 2001

OPTICS
COMMUNICATIONS

Optics Communications 191 (2001) 323-332

www.elsevier.com/locate/opticom

Synchronous mode-locking in multichannel fiber laser systems

L.C. Gómez-Pavón *, E. Martí-Panameño

Facultad de Ciencias Físico-Matemáticas, Benemérita Universidad Autónoma de Puebla, Apdo. Postal 1704, 72001 Puebla, Mexico

Received 7 December 2000; received in revised form 25 January 2001; accepted 16 February 2001

Abstract

Based on the numerical experiment techniques, we report the synchronous pulse generation in multichannel fiber laser systems. The laser arrays under study are conformed by two up to seven nonlinearly coupled doped fibers, separately pumped. Due to the nonlinear interaction between evanescent waves of the active modulated radiation in one of the fibers and the radiation in all other ones, the system achieves the time synchronization – in all channels – of the pulse generation. The characterization of these systems as well as the effect of symmetry breaking on the pulse characteristics are carried out. © 2001 Published by Elsevier Science B.V.

Figura: Amarre de modos sincrónico



Acoplado en un punto de láseres de fibra

326

L.C. Gómez-Pavón, E. Martí-Panameño / Optics Communications 191 (2001) 323–332

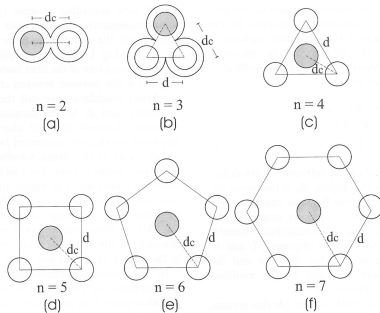


Fig. 1. Geometry of the coupling region cross-section in the multichannel fiber laser arrays.

Figura: Amarre de modos sincrónico



Acoplado en un punto de láseres de fibra

L.C. Gómez-Pavón, E. Martí-Panameño / Optics Communications 191 (2001) 323–332

327

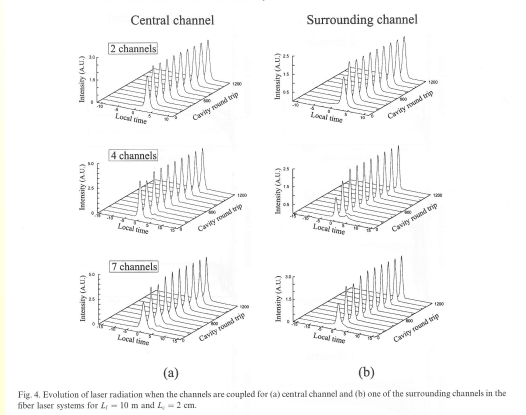


Fig. 4. Evolution of laser radiation when the channels are coupled for (a) central channel and (b) one of the surrounding channels in the fiber laser systems for $L_f = 10$ m and $L_c = 2$ cm.

Figura: Amarre de modos sincrónico

Acoplado en un punto de láseres de fibra

328

L.C. Gómez-Pavón, E. Martí-Panameño / Optics Communications 191 (2001) 323–332

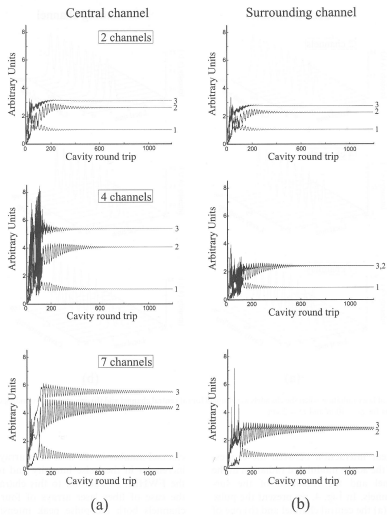


Fig. 5. Pulse parameters evolution as function of the cavity round trip for (a) central channel and (b) one of the surrounding channels. Line 1 denotes – FWHM, 2 – pulse peak intensity and 3 – energy. Fiber laser systems parameters are as in Eq. (4).

Acoplado en un punto de láseres de fibra

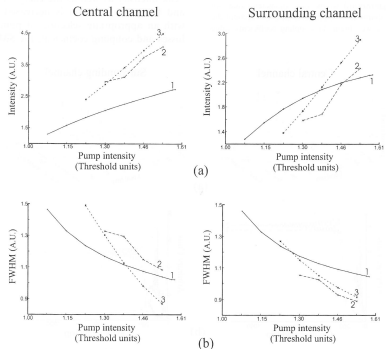


Fig. 7. (a) Pulse peak intensity and (b) FWHM as a function of the pump intensity line 1 denotes – two channels; 2 – four channels; and 3 – seven channels fiber laser systems.

Figura: Amarre de modos sincrónico

Synchronous Pulse Generation in an Array of Three Er³⁺ Doped Fiber Lasers

L. C. Gómez-Pavón¹, E. Martí-Panameño², A. Luis-Ramos¹,
R. Parada-Alfonso³, J. G. Ortega-Mendoza²

¹Facultad de Ciencias de la Electrónica, ²Facultad de Ciencias Físico Matemáticas,
Benemérita Universidad Autónoma de Puebla, San Claudio y 18 Sur, Edif. 109A-CU, San Manuel,
Puebla, México.

³Escuela Superior de Ingeniería Mecánica y Eléctrica, Instituto Politécnico Nacional,
Unidad Profesional Adolfo López Mateos, Edif. 5, 3er Piso, Distrito Federal, México.



Generación sincrónica en tres cavidades

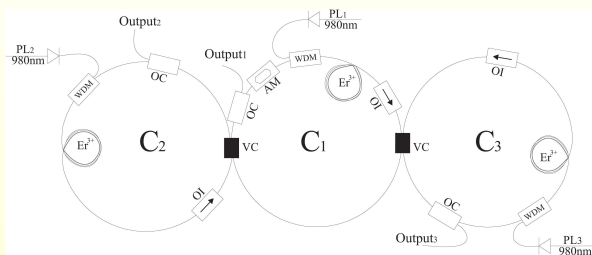


Fig. 1. Experimental setup of a multicavity fiber laser system. PL—Pump laser (980nm), WDM—Wavelength division multiplexing coupler (980nm/1550nm), Er³⁺—Erbium doped fiber, OI—Optical isolator, VC—Variable ratio coupler, OC—Optical coupler, AM—Amplitude modulator, C1—Modulated cavity, C2 and C3—Neighbor cavities.



Generación sincrónica en tres cavidades

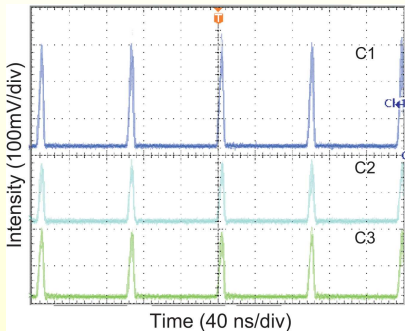


Fig. 2. Oscilloscope trace of the temporal pulse emission for a C1-modulated cavity, with C2 and C3 as neighbor cavities.

Generación sincrónica en tres cavidades

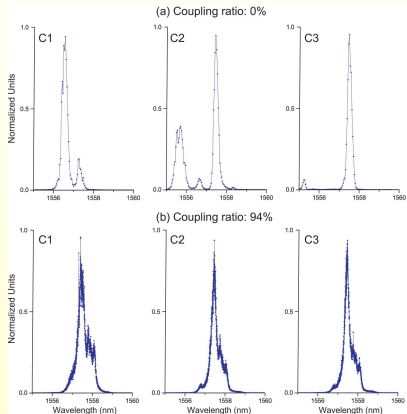


Fig. 4. The output spectrum of each one of the cavities in the array for: (a) uncoupled cavities and (b) coupled cavities in the synchronous regime.



Las componentes fotónicas basadas en fibra óptica representan interesantes objetos de estudios relativamente baratos. Con éstos es posible desarrollar tanto investigación como innovación.

